

# Estabilidad Órbitas Circulares

**Luis A. Núñez**

*Escuela de Física, Facultad de Ciencias,  
Universidad Industrial de Santander, Santander, Colombia*



12 de septiembre de 2024

- 1 Estabilidad de órbitas circulares
- 2 Perturbaciones  $r = r_o + \eta$
- 3 Oscilaciones radiales
- 4 Precesión
- 5 Sección
- 6 Sección
- 7 Sección

- Sea radio  $r_0$  de una órbita circular descrita por una partícula sujeta a un potencial efectivo  $V_{\text{ef}}(r) = V(r) + \frac{L^2}{2\mu r^2}$

- Sea radio  $r_0$  de una órbita circular descrita por una partícula sujeta a un potencial efectivo  $V_{\text{ef}}(r) = V(r) + \frac{L^2}{2\mu r^2}$
- Entonces, un mínimo es  $\left. \frac{\partial V_{\text{ef}}}{\partial r} \right|_{r_0} = 0 \Rightarrow \left. \frac{\partial V}{\partial r} \right|_{r_0} - \frac{L^2}{\mu r_0^3} = 0$

- Sea radio  $r_0$  de una órbita circular descrita por una partícula sujeta a un potencial efectivo  $V_{\text{ef}}(r) = V(r) + \frac{L^2}{2\mu r^2}$
- Entonces, un mínimo es  $\left. \frac{\partial V_{\text{ef}}}{\partial r} \right|_{r_0} = 0 \Rightarrow \left. \frac{\partial V}{\partial r} \right|_{r_0} - \frac{L^2}{\mu r_0^3} = 0$
- y un verdadero mínimo cumple  $\left. \frac{\partial^2 V_{\text{ef}}}{\partial r^2} \right|_{r_0} > 0 \Rightarrow \left. \frac{\partial^2 V}{\partial r^2} \right|_{r_0} + \frac{3L^2}{\mu r_0^4} > 0$

- Sea radio  $r_0$  de una órbita circular descrita por una partícula sujeta a un potencial efectivo  $V_{\text{ef}}(r) = V(r) + \frac{L^2}{2\mu r^2}$
- Entonces, un mínimo es  $\left. \frac{\partial V_{\text{ef}}}{\partial r} \right|_{r_0} = 0 \Rightarrow \left. \frac{\partial V}{\partial r} \right|_{r_0} - \frac{L^2}{\mu r_0^3} = 0$
- y un verdadero mínimo cumple  $\left. \frac{\partial^2 V_{\text{ef}}}{\partial r^2} \right|_{r_0} > 0 \Rightarrow \left. \frac{\partial^2 V}{\partial r^2} \right|_{r_0} + \frac{3L^2}{\mu r_0^4} > 0$
- La fuerza central atractiva sobre una partícula en la órbita circular de radio  $r_0$  es  $f(r_0) = - \left. \frac{\partial V}{\partial r} \right|_{r_0} = - \frac{L^2}{\mu r_0^3}$

- Sea radio  $r_0$  de una órbita circular descrita por una partícula sujeta a un potencial efectivo  $V_{\text{ef}}(r) = V(r) + \frac{L^2}{2\mu r^2}$
- Entonces, un mínimo es  $\left. \frac{\partial V_{\text{ef}}}{\partial r} \right|_{r_0} = 0 \Rightarrow \left. \frac{\partial V}{\partial r} \right|_{r_0} - \frac{L^2}{\mu r_0^3} = 0$
- y un verdadero mínimo cumple  $\left. \frac{\partial^2 V_{\text{ef}}}{\partial r^2} \right|_{r_0} > 0 \Rightarrow \left. \frac{\partial^2 V}{\partial r^2} \right|_{r_0} + \frac{3L^2}{\mu r_0^4} > 0$
- La fuerza central atractiva sobre una partícula en la órbita circular de radio  $r_0$  es  $f(r_0) = - \left. \frac{\partial V}{\partial r} \right|_{r_0} = - \frac{L^2}{\mu r_0^3}$
- con lo cual  $- \left. \frac{\partial f}{\partial r} \right|_{r_0} - \frac{3f(r_0)}{r_0} > 0 \Rightarrow \frac{3f(r_0)}{r_0} + f'(r_0) < 0$

- Sea radio  $r_0$  de una órbita circular descrita por una partícula sujeta a un potencial efectivo  $V_{\text{ef}}(r) = V(r) + \frac{L^2}{2\mu r^2}$
- Entonces, un mínimo es  $\left. \frac{\partial V_{\text{ef}}}{\partial r} \right|_{r_0} = 0 \Rightarrow \left. \frac{\partial V}{\partial r} \right|_{r_0} - \frac{L^2}{\mu r_0^3} = 0$
- y un verdadero mínimo cumple  $\left. \frac{\partial^2 V_{\text{ef}}}{\partial r^2} \right|_{r_0} > 0 \Rightarrow \left. \frac{\partial^2 V}{\partial r^2} \right|_{r_0} + \frac{3L^2}{\mu r_0^4} > 0$
- La fuerza central atractiva sobre una partícula en la órbita circular de radio  $r_0$  es  $f(r_0) = - \left. \frac{\partial V}{\partial r} \right|_{r_0} = - \frac{L^2}{\mu r_0^3}$
- con lo cual  $- \left. \frac{\partial f}{\partial r} \right|_{r_0} - \frac{3f(r_0)}{r_0} > 0 \Rightarrow \frac{3f(r_0)}{r_0} + f'(r_0) < 0$
- En general para fuerzas de la forma  $f(r) = -kr^n (k > 0)$ , la condición de estabilidad se cumple para  $n > -3$



- Sea radio  $r_0$  de una órbita circular descrita por una partícula sujeta a un potencial efectivo  $V_{\text{ef}}(r) = V(r) + \frac{L^2}{2\mu r^2}$
- Entonces, un mínimo es  $\left. \frac{\partial V_{\text{ef}}}{\partial r} \right|_{r_0} = 0 \Rightarrow \left. \frac{\partial V}{\partial r} \right|_{r_0} - \frac{L^2}{\mu r_0^3} = 0$
- y un verdadero mínimo cumple  $\left. \frac{\partial^2 V_{\text{ef}}}{\partial r^2} \right|_{r_0} > 0 \Rightarrow \left. \frac{\partial^2 V}{\partial r^2} \right|_{r_0} + \frac{3L^2}{\mu r_0^4} > 0$
- La fuerza central atractiva sobre una partícula en la órbita circular de radio  $r_0$  es  $f(r_0) = - \left. \frac{\partial V}{\partial r} \right|_{r_0} = - \frac{L^2}{\mu r_0^3}$
- con lo cual  $- \left. \frac{\partial f}{\partial r} \right|_{r_0} - \frac{3f(r_0)}{r_0} > 0 \Rightarrow \frac{3f(r_0)}{r_0} + f'(r_0) < 0$
- En general para fuerzas de la forma  $f(r) = -kr^n (k > 0)$ , la condición de estabilidad se cumple para  $n > -3$
- La fuerza gravitacional ( $n = -2$ ) y la fuerza de un resorte ( $n = 1$ ) producen órbitas circulares estables.

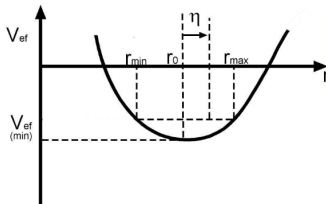
# Perturbaciones $r = r_0 + \eta$

- Supongamos que la energía de la partícula es  $E > V_{\text{ef}}(r_0)$ , donde  $r_0$  es el radio de la órbita circular estable.

-



- Supongamos que la energía de la partícula es  $E > V_{\text{ef}}(r_0)$ , donde  $r_0$  es el radio de la órbita circular estable.
- Consideremos una oscilación radial de pequeña amplitud  $\eta$  alrededor del radio de la órbita circular  $r_0$ . Esto es  $r = r_0 + \eta$ , con  $\eta/r_0 \ll 1$



- Desarrollamos por Taylor de la función  $V_{\text{ef}}(r)$  alrededor de  $r_0$ , y tenemos  $V_{\text{ef}}(r) = V_{\text{ef}}(r_0) + \frac{\partial V_{\text{ef}}}{\partial r} \Big|_{r_0} (r - r_0) + \frac{1}{2} \frac{\partial^2 V_{\text{ef}}}{\partial r^2} \Big|_{r_0} (r - r_0)^2 + \dots$
- El primer término es una constante,  $V_{\text{ef}}(r_0) = \text{cte}$ , y puede ser suprimido el segundo término se anula por ser un mínimo.

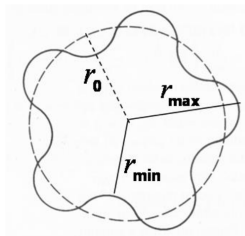
- A segundo orden  $V_{\text{ef}}(r) = \frac{1}{2} \frac{\partial^2 V_{\text{ef}}}{\partial r^2} \Big|_{r_0} (r - r_0)^2 + \dots \approx \frac{1}{2} K \eta^2$ , con  
$$K \equiv \frac{\partial^2 V_{\text{ef}}}{\partial r^2} \Big|_{r_0} = \text{cte}$$

- A segundo orden  $V_{\text{ef}}(r) = \frac{1}{2} \frac{\partial^2 V_{\text{ef}}}{\partial r^2} \Big|_{r_0} (r - r_0)^2 + \dots \approx \frac{1}{2} K \eta^2$ , con
$$K \equiv \frac{\partial^2 V_{\text{ef}}}{\partial r^2} \Big|_{r_0} = \text{cte}$$
- La ecuación de movimiento radial,  $\mu \ddot{r} = f_{\text{ef}}(r)$  para  $r = r_0 + \eta$  resulta
$$\ddot{\eta} + \omega_r^2 \eta = 0$$

- 
- A diagram of a three-lobed cell. A dashed circle represents the overall boundary, with a radius labeled  $r_0$ . The cell is divided into three sectors by solid lines meeting at a central point. The maximum radius of a lobe is labeled  $r_{\max}$ , and the minimum radius (at the central point) is labeled  $r_{\min}$ .



- A segundo orden  $V_{\text{ef}}(r) = \frac{1}{2} \frac{\partial^2 V_{\text{ef}}}{\partial r^2} \Big|_{r_0} (r - r_0)^2 + \dots \approx \frac{1}{2} K \eta^2$ , con  $K \equiv \frac{\partial^2 V_{\text{ef}}}{\partial r^2} \Big|_{r_0} = \text{cte}$
- La ecuación de movimiento radial,  $\mu \ddot{r} = f_{\text{ef}}(r)$  para  $r = r_0 + \eta$  resulta  $\ddot{\eta} + \omega_r^2 \eta = 0$
- Que la ecuación de un oscilador armónico con frecuencia de oscilación radial  $\omega_r^2 = \frac{K}{\mu} = \frac{1}{\mu} \frac{\partial^2 V_{\text{ef}}}{\partial r^2} \Big|_{r_0}$



- Investigar la estabilidad de órbitas circulares descritas por el potencial  $V(r) = \frac{-k}{r} e^{-(r/a)}$  donde  $k > 0$  y  $a > 0$ .

- El ángulo de precesión  $\Delta\theta$  es el recorrido por la dirección del perihelio en el plano del movimiento durante un período de oscilación radial  $T_r$ .

- El ángulo de precesión  $\Delta\theta$  es el recorrido por la dirección del perihelio en el plano del movimiento durante un período de oscilación radial  $T_r$ .
- Esto es  $\Delta\theta = \dot{\theta} T_r = 2\pi \frac{\dot{\theta}}{\omega_r}$ , y como  $\dot{\theta} = \frac{L}{\mu r_0^2}$ ,

- El ángulo de precesión  $\Delta\theta$  es el recorrido por la dirección del perihelio en el plano del movimiento durante un período de oscilación radial  $T_r$ .
- Esto es  $\Delta\theta = \dot{\theta} T_r = 2\pi \frac{\dot{\theta}}{\omega_r}$ , y como  $\dot{\theta} = \frac{L}{\mu r_0^2}$ ,
- tenemos  $\Delta\theta = 2\pi \frac{L}{\mu r_0^2} \left( \frac{1}{\mu} \frac{\partial^2 V_{\text{ef}}}{\partial r^2} \Big|_{r_0} \right)^{-1/2}$

- El ángulo de precesión  $\Delta\theta$  es el recorrido por la dirección del perihelio en el plano del movimiento durante un período de oscilación radial  $T_r$ .
- Esto es  $\Delta\theta = \dot{\theta} T_r = 2\pi \frac{\dot{\theta}}{\omega_r}$ , y como  $\dot{\theta} = \frac{L}{\mu r_0^2}$ ,
- tenemos  $\Delta\theta = 2\pi \frac{L}{\mu r_0^2} \left( \frac{1}{\mu} \frac{\partial^2 V_{\text{ef}}}{\partial r^2} \bigg|_{r_0} \right)^{-1/2}$
- La dirección del perihelio  $r_{\text{mín}}$  cambia en un ángulo  $\Delta\theta$  durante la precesión de la órbita.

-







